

Utjecaj visine uzorka na kut sisanja dolomita metodom cilindra

Cvitković, Mirna

Master's thesis / Diplomski rad

2019

Degree Grantor / Ustanova koja je dodijelila akademski / stručni stupanj: **University of Zagreb, Faculty of Mining, Geology and Petroleum Engineering / Sveučilište u Zagrebu, Rudarsko-geološko-naftni fakultet**

Permanent link / Trajna poveznica: <https://urn.nsk.hr/urn:nbn:hr:169:498762>

Rights / Prava: [In copyright/Zaštićeno autorskim pravom.](#)

Download date / Datum preuzimanja: **2024-04-25**



Repository / Repozitorij:

[Faculty of Mining, Geology and Petroleum
Engineering Repository, University of Zagreb](#)



SVEUČILIŠTE U ZAGREBU

RUDARSKO-GEOLOŠKO-NAFTNI FAKULTET

Diplomski studij rudarstva

**UTJECAJ VISINE UZORKA NA KUT SIPANJA DOLOMITA METODOM
CILINDRA**

Diplomski rad

Mirna Cvitković

R 188

Zagreb, 2019.

Sveučilište u Zagrebu

Diplomski rad

Rudarsko-geološko-naftni fakultet

UTJECAJ VISINE UZORKA NA KUT SIPANJA DOLOMITA METODOM CILINDRA

MIRNA CVITKOVIĆ

Diplomski rad izrađen: Sveučilište u Zagrebu

Rudarsko-geološko-naftni fakultet

Zavod za rudarstvo i geotehniku

Pierottijeva 6, 10000 Zagreb

Sažetak

Tema i svrha rada je usporediti istraživanja kuta sisanja materijala i njihove dobivene vrijednosti. Opisana je metoda cilindra, njena provedba i dobiveni rezultati s različitim visinama materijala unutar šupljeg cilindra. Isti su obrađeni i analizirani. Prema više autora, dobivena je ovisnost iznosa kuta sisanja o frakciji materijala, obliku zrna, podlozi na koju se rasipa i brzini podizanja cilindra. Veći je kod materijala s manjim ili nikakvim udjelom sitnih čestica, uglatih zrna, rasipan na podlogu veće hrapavosti manjim brzinama. Naša ispitivanja su pokazala minimalnu promjenu kuta sisanja s porastom visine uzorka u cilindru za frakciju 2/4, dok je za frakciju 0/4 s porastom visine uzorka kut sisanja padaо.

Ključne riječi: rudarstvo, kut sisanja, metoda cilindra, promjer cilindra,
granulacija, brzina podizanja, kut unutarnjeg trenja, oblik zrna

Diplomski rad sadrži: 34 stranice, 13 tablica, 20 slika, 13 referenci i 2 priloga

Jezik izvornika: hrvatski

Diplomski rad pohranjen: Knjižnica Rudarsko-geološko-naftnog fakulteta
Pierottijeva 6, Zagreb

Voditelj: Dr.sc. Mario Klanfar, docent

Pomoć pri izradi: Mag.ing. Vjekoslav Herceg, asistent RGNF

Ocenjivači: Dr.sc. Mario Klanfar, docent RGNF
Dr.sc. Dubravko Domitrović, docent RGNF
Dr.sc. Tomislav Korman, docent RGNF

Datum obrane: 15.2.2019., Rudarsko-geološko-naftni fakultet Sveučilišta u Zagrebu

INFLUENCE OF SAMPLE HEIGHT ON ANGLE OF REPOSE OF DOLOMITE TESTED BY
CYLINDER METHOD

MIRNA CVITKOVIĆ

Thesis completed at: University of Zagreb
Faculty of mining, Geology and Petroleum Engineering
Institute of Mining and Geotechnical Engineering
Pierottijeva 6, 10000 Zagreb

Abstract

Theme and purpose of this thesis is to compare researches of angle of repose and their gained values. Cylinder method is described, implementation and results gained with different heights of material inside of the hollow cylinder. They are processed and analized. According to several authors, the dependence of the value of angle of repose on the fraction of the material, grain shape, friction of the base and cylinder lifting speed was obtained. It is higher in materials with a small amount or without fine particles, angular grain, poured on the base with a higher roughness at lower speeds. Our tests showed a slight change in the angle of repose with the increase of the sample height with fraction 2/4, while the angle was falling with fraction 0/4 with the increase in the height of the sample.

Keywords: mining, angle of repose, cylinder method, cylinder diameter, granulation, lifting speed, internal friction angle, grain shape

Thesis contains: 34 pages, 13 tables, 20 figures, 13 references and 2 attachments

Original in: Croatian

Archived in: Library of Faculty of Mining, Geology and Petroleum Engineering
Pierottijeva 6, Zagreb

Supervisor: Assistant Professor Mario Klanfar, PhD

Assistance: Assistant Vjekoslav Herceg, mag. ing. min.

Reviewers: Assistant Professor Mario Klanfar, PhD
Assistant Professor Dubravko Domitrović, PhD
Assistant Professor Tomislav Korman, PhD

Date of defense: February 15th, 2019. Faculty of Mining, Geology and Petroleum Engineering, University of Zagreb

SADRŽAJ

| | |
|---|----|
| 1. Uvod | 1 |
| 2. Pregled vrijednosti kuta sipanja | 2 |
| 2.1. Vrijednost kuta sipanja po Z. Liu | 2 |
| 2.1.1. Opis uzorka i opreme korištene u laboratorijskom ispitivanju | 2 |
| 2.1.2. Rezultati ispitivanja | 4 |
| 2.1.2.1. Pijesak | 4 |
| 2.1.2.2. Šljunak | 4 |
| 2.1.2.3. Mješavina pijeska i šljunka | 7 |
| 2.1.2.4. Uslojeni pijesak i šljunak | 8 |
| 2.1.2.5. Usporedba mjerenog i numeričkog kuta sipanja | 10 |
| 2.2. Vrijednost kuta sipanja po C. Kleinu i C. S. Hurlbutu | 11 |
| 2.3. Vrijednost kuta sipanja po J. R. Metcalfu | 11 |
| 2.4. Vrijednost kuta sipanja za obaloutvrde | 12 |
| 2.5. Vrijednost kuta sipanja po Caterpillaru | 16 |
| 3. Metoda cilindra | 18 |
| 3.1. Širenje materijala nakon dizanja cilindra s granuliranim materijalom | 20 |
| 4. Statistika - regresijska analiza | 22 |
| 5. Laboratorijska ispitivanja | 24 |
| 5.1. Opis ispitivanja | 24 |
| 5.2. Rezultati ispitivanja | 25 |
| 5.2.1. Regresijska analiza | 26 |
| 5.3. Formiranje (krnjeg) stošca | 29 |
| 6. Zaključak | 32 |
| 7. Literatura | 33 |

POPIS SLIKA

| | |
|---|----|
| Slika 2-1. Korišteni cilindri (a) promjera 5 cm, (b) 12 cm i (c) 12,5 cm (Liu, 2011) | 3 |
| Slika 2-2. Cilindri sa šljunkom tri različitih težina (a) 12,37 N, (b) 21,88 N i (c) 34,12 N (Liu, 2011) | 5 |
| Slika 2-3. Cilindar prije i poslije podizanja sa slojem pijeska 10,0 cm, mala brzina podizanja, glatka podloga (Liu, 2011) | 9 |
| Slika 2-4. Cilindar prije i poslije podizanja sa slojem pijeska 10,0 cm, mala brzina podizanja, hrapava podloga (Liu, 2011) | 9 |
| Slika 2-5. Kut sisanja ϕ_r kao funkcija D_{50} i mjerenih vrijednosti ϕ_r (Froehlich, 2011) | 14 |
| Slika 2-6. Kut sisanja ϕ_r kao funkcija D_{85}/D_{50} i mjerenih vrijednosti ϕ_r (Froehlich, 2011) | 15 |
| Slika 2-7. Poravnati obujam (eng. struck) s obujmom 'na vrh' (eng. heaped) (Caterpillar, 2014) | 16 |
| Slika 2-8. Materijal nasut na radilištu s označenim kutom sisanja (Caterpillar, 2014) | 16 |
| Slika 3-1. Shema izvođenja pokusa (Liu, 2011) | 18 |
| Slika 3-2. Rasprostiranje granuliranog materijala nakon dizanja cilindra (Lajeunesse, 2004) | 20 |
| Slika 4-1. Dijagram raspršenosti (MATHOS, 2018) | 22 |
| Slika 5-1. Shema uređaja (Kostrić, 2018) | 24 |
| Slika 5-2. Formirana hrpa materijala nakon podizanja cilindra (Gaura, 2018) | 25 |
| Slika 5-3. Prikaz slojnica u Microstationu | 25 |
| Slika 5-4. Zatvorena mreža slojnica u tlocrtu i izometričnom pogledu | 26 |
| Slika 5-5. Dijagram osam uzoraka i tri ponavljanja | 27 |
| Slika 5-6. Dijagram srednjih vrijednosti osam uzoraka | 27 |
| Slika 5-7. Dijagram tri uzorka i pet ponavljanja | 29 |
| Slika 5-8. Dijagram srednjih vrijednosti tri uzorka | 29 |

Slika 5-9. Šest uzorka visina (a) 15 mm, (b) 30 mm, (c) 45 mm, (d) 60 mm, (e) 75 mm i (f)
90 mm 31

Slika 5-10. Usporedba formacija šest uzorka 31

POPIS TABLICA

| | |
|--|----|
| Tablica 2-1. Rezultati kuta sisanja u pokusima s pijeskom (Liu, 2011) | 4 |
| Tablica 2-2. Kut sisanja kod cilindra D=5 cm (Liu, 2011) | 4 |
| Tablica 2-3. Kut sisanja kod cilindra D=12,0 cm (Liu, 2011) | 6 |
| Tablica 2-4. Kut sisanja kod cilindra D=12,5 cm (Liu, 2011) | 6 |
| Tablica 2-5. Cilindar D=5 cm i brzina 2 cm/s (Liu, 2011) | 7 |
| Tablica 2-6. Cilindar D=5 cm i brzina 7 cm/s (Liu, 2011) | 7 |
| Tablica 2-7. Cilindar podizan brzinom 2,5 cm/s (Liu, 2011) | 8 |
| Tablica 2-8. Cilindar podizan brzinom 7,0 cm/s (Liu, 2011) | 8 |
| Tablica 2-9. Mjereni i numerički kut sisanja na glatkoj i hrapavoj podlozi (Liu, 2011) | 10 |
| Tablica 2-10. Karakteristike materijala (Klein i Hurlbut, 1985) | 11 |
| Tablica 2-11. Kut sisanja materijala (Metcalf, 1965) | 12 |
| Tablica 2-12. Preporučeni kut sisanja (Caterpillar, 2014) | 17 |
| Tablica 5-1. Ispitivanja na frakciji 0/4 (Klanfar i dr., 2017) | 28 |
| Tablica 5-1. Minimalna visina uzorka za formiranje stošca | 30 |

POPIS PRILOGA

| | |
|--|----|
| Prilog 1. Excel tablica provedenih ispitivanja (Froehlich, 2011) | 34 |
| Prilog 2. Excel tablica s rezultatima ispitivanja | 35 |

POPIS OZNAKA

| Oznaka | Opis | Jedinica |
|----------|------------------------------|---------------|
| ϕ_r | kut sipanja | ° |
| ϕ | kut unutarnjeg trenja | ° |
| δ | kut trenja između materijala | ° |
| h | visina uzorka | mm |
| d | promjer zrna | mm |
| D | promjer cilindra | cm |
| H | visina cilindra | cm |
| P | površina | cm^2 |
| V | volumen | cm^3 |

1. Uvod

Rudarstvo obuhvaća pronalaženje i vađenje (eksploataciju) korisnih mineralnih sirovina iz njihovih ležišta u Zemljinoj kori, njihovu obradu i oplemenjivanje za daljnje korištenje u industriji. Za uspješnu provedbu svih potrebnih radnji za ostvarivanje toga cilja i racionalno i optimizirano iskorištavanje mineralne sirovine, potrebno je poznavati sve bitne karakteristike i svojstva minerala u ležištu i sirovine nakon vađenja, u procesu obrade i pripreme.

U laboratorijskim ispitivanjima, koristeći metodu šupljeg cilindra, promatra se utjecaj povećanja visine stupca materijala na iznos kuta sisanja pri konstantnoj brzini podizanja cilindra. Kut sisanja granuliranog materijala je najstrmiji kut u odnosu na horizontalnu površinu na koju se materijal može nagomilati bez pojave klizanja materijala. Iznosi 0° do 90° te se materijal slaže u gomilu približno stožastog oblika. Različite morfologije materijala utječu na različitost kuta sisanja. Veličina kuta sisanja ovisi o glatkoći, veličini komada, obliku, vlažnosti, temperaturi, sastavu i stanju materijala te načinu sisanja. Kut je manji ukoliko se materijal sipa s veće visine i ako je pokretljivost pojedinih čestica materijala veća.

Krajnji cilj rada je utvrditi utjecaje na iznos kuta sisanja i njegovu promjenjivost pod njima s povećanjem visine uzorka, te omjer visine uzorka i promjera cilindra pri kojoj će se formirati pravilna gomila materijala stožastog oblika..

2. Pregled vrijednosti kuta sisanja različitih materijala

Kut sisanja je tehničko svojstvo materijala ovisno o mnogo faktora, od kojih su neki granulacija materijala, oblik zrna, vlažnost materijala, a mjeri se između koka stošca kojeg formira nasipani materijal i horizontalne podloge. Također, po iznosu se razlikuje za određeni materijal neke granulacije, dobiven laboratorijskim pokusima ili računski, na temelju poznatih parametara.

Računski kut sisanja možemo dobiti iz jednadžbe (Liu, 2011):

$$\tan\phi_r = \tan\phi \quad (2-1)$$

Dakle, tangens kuta sisanja, ϕ_r , jednak je tangensu kuta unutarnjeg trenja granulata, ϕ . Kut trenja između materijala, δ , dobiva se po formuli (Liu, 2011):

$$\tan\delta = \frac{\tan\phi_r \cdot \cos^2\phi}{2 + 2 \cdot \sqrt{1 - (\frac{\cos\phi}{\cos\phi_r})^2 - \cos^2\phi}} \quad (2-2)$$

2.1. Vrijednost kuta sisanja po Z. Liu

Svrha provođenja pokusa je bila promatrati ponašanje granulata šljunka i pijeska, ali i oba materijala u slojevima kao što ih nalazimo u prirodi kada su podvrgnuta nekom padu, odnosno rasipanju na kosini.

2.1.1. Opis uzorka i opreme korištene u laboratorijskom ispitivanju

Šljunak ima prosječan promjer $d_{50}=5$ mm, a pijesak $d_{50}=0,50$ mm. Specifična težina G , šljunka je 2,6, pijeska 2,65, dok je kut unutrašnjeg trenja 34° za šljunak i 27° pijeska.

U cilju da se simulira glatka i gruba (hrapava) podloga na koju bi se materijal rasipao, odabrane su staklena podloga i porozan kamen.

Čestice pijeska, šljunka i kombinacije dvoga, stavljene su u cilindar od pleksiglasa. Promjeri i visine cilindara su 5 cm:17,15 cm, 12 cm:17,15 cm i 12,5 cm:108,6 cm (slika 2-1 (a), (b) i (c)). Smještani su na različite površine i zatim dizani različitim brzinama.



(a)



(b)



(c)

Slika 2-1. Korišteni cilindri (a) promjera 5 cm, (b) 12 cm i (c) 12,5 cm (Liu, 2011)

2.1.2. Rezultati ispitivanja

2.1.2.1. Pijesak

Cilindar promjera 5 cm i visine 17,15 cm korišten je na glatkoj i hrapavoj podlozi i s dvije brzine dizanja. Rezultati su prikazani u tablici 2-1.

Tablica 2-1. Rezultati kuta sipanja u pokusima s pijeskom (Liu, 2011)

| PIJESAK | Mala brzina ~ 2,0 cm/s | Veća brzina ~ 7,0 cm/s |
|------------------------|-------------------------------|-------------------------------|
| Glatka podloga | 25,0 ° | 21,6 ° |
| Hrapava podloga | 27,0 ° | 24,3 ° |

Rezultati upućuju na to da na kut sipanja utječu i brzina dizanja i podloga, na način da je veći što je hrapavost podloge veća, ali i manji što je brzina dizanja veća.

2.1.2.2. Šljunak

Za pokus sa šljunkom korištena su sva tri cilindra, obje podloge i dvije brzine dizanja. Rezultati su u tablicama 2-2, 2-3 i 2-4.

Tablica 2-2. Kut sipanja kod cilindra D=5 cm (Liu, 2011)

| ŠLJUNAK | Mala brzina ~ 2,0 cm/s | Veća brzina ~ 7,0 cm/s |
|------------------------|-------------------------------|-------------------------------|
| Glatka podloga | 28,0 ° | 25,0 ° |
| Hrapava podloga | 33,5 ° | 32,0 ° |

Vidljivo je da je kut sipanja manji za glatku površinu i veću brzinu.

Cilindri promjera 12,0 i 12,5 cm korišteni su na isti način, ali za tri uzorka različite težine. Na slici 2-2 a) je uzorak težine 12,37 N i visine u cilindru 5,8 cm, drugi uzorak je težine 21,88 N i visine 8,6 cm (slika 2-2 b), treći 34,21 N i 17,15 cm (slika 2-2 c).



(a)

(b)



(c)

Slika 2-2. Cilindri sa šljunkom tri različitih težina (a) 12,37 N, (b) 21,88 N i (c) 34,12 N
(Liu, 2011)

Kut sisanja određen je za glatku i hrapavu podlogu, što je vidljivo u tablici 2-3.

Tablica 2-3. Kut sisanja kod cilindra D=12,0 cm (Liu, 2011)

| Težina šljunka (N) | Glatka podloga i niža brzina | Hrapava podloga i viša brzina |
|--------------------|------------------------------|-------------------------------|
| 12,37 | 28,0 ° | 22,1 ° |
| 21,88 | 25,0 ° | 19,0 ° |
| 34,21 | 23,0 ° | 16,9 ° |

Rezultati upućuju na to da što je stupac materijala viši, manji je kut sisanja, bez obzira na podlogu i visinu dizanja. Dakle, težina materijala utječe na vrijednost kuta sisanja.

Na velikom cilindru promjera 12,5 cm i visine 108,6 cm, također se provodio pokus s tri uzorka visina 20, 40 i 60 cm i pripadajućih težina 45,73, 92,87 i 142,34 N. Za bazu je korištena drvena podloga, dok je brzina podizanja cilindra bila 2,5 cm/s. Rezultati su prikazani u tablici 2-4.

Tablica 2-4. Kut sisanja kod cilindra D=12,5 cm (Liu, 2011)

| Težina šljunka (N) | Kut sisanja na drvenoj podlozi (°) |
|--------------------|-------------------------------------|
| 45,73 | 25,0 |
| 92,87 | 16,0 |
| 142,34 | 11,9 |

Analiza tih rezultata pokazuje da što je viši stupac šljunka, kut sisanja je manji.

2.1.2.3. Mješavina pijeska i šljunka

Pokusi sa pijeskom i šljunkom u različitim omjerima rađeni su sa cilindrom D=5 cm i na glatkoj i hrapavoj podlozi. Brzine podizanja su 2 i 7 cm/s (tablice 2-5 i 2-6).

Tablica 2-5. Cilindar D=5 cm i brzina 2 cm/s (Liu, 2011)

| Tež. % pijeska | Kut sisanja - glatka podloga (°) | Kut sisanja - hrapava podloga (°) |
|-------------------|-----------------------------------|------------------------------------|
| 10 | 20,0 | 29,5 |
| 20 | 20,7 | 26,9 |
| 30 | 18,5 | 23,0 |
| 40 | 22,9 | 28,5 |
| 50 | 25,1 | 25,9 |
| 60 | 23,5 | 27,1 |
| 70 | 24,0 | 25,9 |
| 80 | 26,5 | 28,6 |
| 90 | 26,1 | 25,9 |

Tablica 2-6. Cilindar D=5 cm i brzina 7 cm/s (Liu, 2011)

| Tež. % pijeska | Kut sisanja - glatka podloga (°) | Kut sisanja - hrapava podloga (°) |
|-------------------|-----------------------------------|------------------------------------|
| 10 | 17,5 | 30,5 |
| 20 | 20,0 | 24,5 |
| 30 | 18,0 | 23,5 |
| 40 | 21,0 | 27,0 |
| 50 | 21,5 | 25,0 |
| 60 | 22,0 | 26,5 |
| 70 | 26,0 | 23,5 |
| 80 | 22,9 | 24,0 |
| 90 | 23,5 | 25,1 |

Iz analize vidimo da na kut sisanja utječe stupanj hrapavosti podloge i brzina dizanja cilindra. Kut sisanja je veći kada se koristi porozan kamen (hrapava podloga). Također, što

je veća brzina podizanja, niži je kut sisanja, osobito za test s glatkom podlogom. Kako je mijenjan udio pjeska u pokusima, možemo zaključiti da s povećanjem njegova postotnog udjela pada kut sisanja (kako je sve veći udio sitnih čestica), također, vidi se i trend da utjecaj hrapavosti podloge opada kako je udio pjeska veći (sve je manja razlika kutova među dvije podloge).

2.1.2.4. Uslojeni pjesak i šljunak

Korišten je cilindar unutarnjeg promjera 5 cm, smješten na glatku i hrapavu podlogu. Na dnu cilindra je nasipan pjesak, a na njega šljunak. Brzine dizanja cilindra su bile niža (2,5 cm/s) i viša (7,0 cm/s). Rezultati su prikazani u tablicama 2-7 i 2-8 i na slikama 2-3 i 2-4. Korištene su tri različite visine sloja pjeska 2,5, 5,0 i 10,0 cm. Ostatak visine cilindra ($H=17,15$ cm) ispunjen je šljunkom.

Tablica 2-7. Cilindar podizan brzinom 2,5 cm/s (Liu, 2011)

| h pjeska (cm) | Kut sisanja – glatka podloga (°) | Kut sisanja – hrapava podloga (°) |
|----------------------|--|---|
| 2,5 | 24,0 | 25,0 |
| 5,0 | 21,0 | 22,0 |
| 10,0 | 18,5 | 20,5 |

Tablica 2-8. Cilindar podizan brzinom 7,0 cm/s (Liu, 2011)

| h pjeska (cm) | Kut sisanja – glatka podloga (°) | Kut sisanja – hrapava podloga (°) |
|----------------------|--|---|
| 2,5 | 17,1 | 18,4 |
| 5,0 | 16,1 | 17,9 |
| 10,0 | 14,2 | 15,9 |



Slika 2-3. Cilindar prije i poslije podizanja sa slojem pijeska 10,0 cm, mala brzina podizanja, glatka podloga (Liu, 2011)



Slika 2-4. Cilindar prije i poslije podizanja sa slojem pijeska 10,0 cm, mala brzina podizanja, hrapava podloga (Liu, 2011)

Rezultati upućuju na to da visina sloja pijeska utječe na kut sipanja bez obzira na hrapavost podloge i brzinu podizanja na način da što je sloj pijeska viši, kut sisanja je manji.

2.1.2.5. Usporedba mjerenog i numeričkog kuta sisanja

Kako je već rečeno, kut sisanja ovisi o više faktora koji u prirodi mogu utjecati na njega. Zato numeričke vrijednosti mogu predstavljati okvirnu veličinu kuta sisanja za neki materijal, ali stvarni ne mora biti točno toliki. Ta razlika se primjećuje u tablici 2-9. Kut unutarnjeg trenja i kut trenja među materijalima, ulazni su podaci formula 2-1 i 2-2 za računanje kuta sisanja.

Tablica 2-9. Mjereni i numerički kut sisanja na glatkoj i hrapavoj podlozi (Liu, 2011)

| Materijal | Podloga | Kut unutarnjeg trenja, ϕ (°) | Kut trenja među materijalima, δ (°) | Mjereni kut sisanja, ϕ_r (°) * | Računski kut sisanja, ϕ_r (°) |
|-----------|---------------|-----------------------------------|--|-------------------------------------|------------------------------------|
| Pijesak | Porozan kamen | 27 | 25 | 27 | 27 ** |
| | Staklo | 27 | 16 | 25 | 26,5 *** |
| Šljunak | Porozan kamen | 34 | 26 | 33,5 | 34 ** |
| | staklo | 34 | 15 | 28 | 32 *** |

* mjerena kod brzine dizanja cilindra 2 cm/s

** računat formulom (2-1)

*** računat formulom (2-2)

2.2. Vrijednost kuta sipanja po SME Engineering Handbooku

U knjizi postoje podaci od različitih autora za svojstva materijala, od kojih je jedan kut sipanja. Time su se bavili Klein i Hurlbut, a cilj je saznati karakteristike nekih čestih rudnih minerala, s naglaskom na trošne izdanke slojeva, na koje utjecaj imaju vremenski čimbenici, erozija i atmosferilije. Prikaz rezultata je u tablici 2-10.

Tablica 2-10. Karakteristike materijala (Klein i Hurlbut, 1985)

| Materijal | Gustoća u sraslom stanju (g/cm ³) | Rastresita gustoća (g/cm ³) | Kut sipanja (°) |
|---------------------|---|---|-----------------|
| Ugljen, antracit | 1,2975-1,3616 | 0,9611-1,0092 | 27 |
| Ugljen, bituminozan | 1,1213 | 0,8009-0,8330 | 45-55 |
| Ugljen, lignit | - | 0,6407-0,7208 | 38 |
| Koks, rastresit | - | 0,3684-0,5606 | 30-44 |
| Šljunak, suh | - | 1,4417-1,6018 | 40 |
| Drobljeni kamen | - | 2,0023-2,3227 | 20-29 |
| Pijesak, vlažan | - | 1,6819-2,0824 | 45 |
| Pijesak, suh | - | 1,4417-1,7620 | 35 |
| Šejl, lomljeni | - | 1,4417-1,6018 | 20-29 |
| Šejl, drobljeni | - | 1,3616-1,4417 | 39 |

2.3. Vrijednost kuta sipanja po J. R. Metcalfu

Ideja ispitivanja je analizirati kut sipanja granulata jer ima primjenu u skladištenju i pakiranju fragmentiranog materijala. Ključno je i poznavanje unutarnjeg trenja materijala, koji je teže dobiti od kuta sipanja, pa ako postoji veza dvaju kuta, primjena je velika.

Nizovi pokusa su provedeni sa uzorcima raznih materijala, tipičnih za skladištenje u rasutom stanju. Testirani su kutovi unutarnjeg trenja i sipanja nakon formiranja hrpe, te nakon njena konsolidiranja. Mjerjenje kuta sipanja hrpa viših od 7-8 cm nije predstavljalo nikakav problem, osim za kamenu sol i šejl jer formiraju strme nepravilne kosine.

Korištena naprava za pokus sastoji se od drvene baze na koju okomito stoje dvije staklene ploče, međusobno paralelne. Drveni blok koji je između se može pomicati, a na početku

pokusa je na kraju ploča pa sve zajedno tvori 'kutiju'. Kada se napuni materijalom (samo nasutim, u rastresitom stanju), blok se pomakne i materijal se raspe, tvoreći kosinu iz čijeg nagiba se očita kut unutarnjeg trenja. Ista se stvar ponovi nakon što se materijal vertikalnim pritiskom u 'kutiji' konsolidira pa je očitani kut unutarnjeg trenja u konsolidiranom stanju. Nije navedeno je li zbijanje potpuno ili djelomično.

Neki od minerala iz prethodne tablice ponavljaju se i u tablici 2-11 za usporedbu po drugome autoru.

Tablica 2-11. Kut sisanja materijala (Metcalf, 1966)

| Materijal | Kut sisanja (°) | Kut unutarnjeg trenja (°) | |
|-----------------------|--------------------------|------------------------------------|----------------------|
| | | rastresito | konsolidirano |
| Kamena sol | 30 | - | 30 |
| Šejl | 33 | 30 | 32 |
| Ugljen, na suhoj pari | 38 | 18 | - |
| Ugljen za koksiranje | 35,5 | 23 | 35 |
| Tvrdi ugljen | 35,5 | 27,5 | 35 |
| Anhidrit | 37 | 31 | 36,5 |
| Kvarcni pijesak | 37 | 32 | 36 |
| Drobljeni pješčenjak | 39 | 36 | 40 |
| Koks | 40 | 32 | 39,5 |

Tri uzorka ugljena, anhidrit i kvarcni pijesak imaju vrlo sličan kut sisanja, a razlika u tvrdoći im je velika. Može se reći da se kut sisanja povećava s tvrdoćom materijala, ali na njega utječe i oblik zrna i trenje među njima.

2.4. Vrijednost kuta sisanja za obaloutvrde

Istraživanja je proveo David C. Froehlich jer je kut sisanja materijala ključan za projektiranje drenažnih sustava. Kako bi se kontrolirao tok rijeke i odvojio je od cesta, komercijalnih i stambenih dijelova ili poljoprivrednih zemljišta, konstruiraju se sustavi jaraka za drenažu kako bi se spriječilo ispiranje površinskog materijala.

Međutim, gotovo svaki kanal iskopan u pijesku, mulju ili glinenom tlu će erodirati kada su brzine strujanja struje dovoljno visoke. Krupni kameni agregat često se koristi za poravnavanje obale i ležišta otvorenih odvodnih kanala za zaštitu od erozije jer pruža izvrsnu zaštitu koja malo košta u s usporedbi drugim vrstama obloga. Ima uski raspon veličina čestica i zbog toga su prazni prostori unutar mješavine relativno veliki.

Premda kut sisanja obično znači kut pod kojim će se masa klizajućih čestica zaustaviti, također je definiran kao maksimalni kut koji se može postići nagibom prije nastanka odrona. Za rastresit materijal razlika između ta dva kuta analogna je razlici između statičkih i dinamičkih kutova klizanja u oknu. Manji kut je kut rezidualnog smicanja ϕ_s , a veći kut inicijalnog pomaka ϕ_i . Razlika ta dva kuta, koja najviše nekoliko stupnjeva, opisana je kao dilatacija $\Delta\phi = \phi_i - \phi_s$ (kut dilatacije). Kut rezidualnog smicanja jednak je prosječnom kutu nagiba kad se visina sloja materijala velika u usporedbi s veličinom čestica koje ga tvore. Za sljedeću analizu, maseni kut sisanja definiran je kao ϕ_r , tj. kut koji formira masa nakon klizanja ili srednji kut nagiba.

Maseni kut sisanja grubog kamena koji se obično koristi za obaloutvrde procjenjuje se na temelju podataka prikupljenih na 74 odlagališta prirodnog i drobljenog kamena. Na temelju ispitivanja moguće je predvidjeti kut sisanja, razvijen preko regresije. Kut sisanja granulata bez kohezije varira, veličina i oblik zrna, konsolidiranost i površinska tekstura se razlikuju. Kameni agregati za obaloutvrde koje proizvode kamenolomi su standardnih srednjih promjera D_{50} (gdje je D_i srednji promjer čestica za koji je i % smjese težinski manji), a čest je uvijet i koeficijent jednoličnosti u intervalu $1,4 \leq D_{85}/D_{50} \leq 2,2$.

Korišteni uzorci su ili drobljeni kamen iz kamenoloma ili materijal prikupljen iz riječnog prirodnog depozita.

Zaobljenost ili uglatost zrna materijala je po rezultatima najvažniji faktor za kut sisanja ϕ_r . U prilogu 1 su dani rezultati ispitivanja. Svaki uzorak zrna materijala je označen kao zaobljen R (eng. round), poluzaobljen SR (eng. subround), poluuglat SA (eng. subangular) ili uglat S (eng. angular).

Kut sisanja kao logaritamska funkcija računa se po formuli (Froehlich, 2011):

$$\ln\phi_r = 3,46 + 0,0833I_1 + 0,1888I_2 \quad (2-3)$$

Gdje je: I_1 jednak 1 za poluzaobljena i poluuglata zrna, u suprotnom 0. I_2 jednak 1 za ugleta zrna, inače 0.

Tako dobivamo sljedeći rezultat (po jednadžbi 2-3):

$\phi_r = 31,8^\circ$ za uzorak zaobljenih zrna,

$\phi_r = 34,6^\circ$ za uzorak poluzaobljenih i poluuglatih zrna,

$\phi_r = 38,4^\circ$ za uzorak uglatih zrna.

Kada se u obzir uzme i D_{50} , najbolji način za dobivanje kuta sipanja ϕ_r je pomoću regresijskog modela (Froehlich, 2011):

$$\ln\phi_r = 3,45 + 0,0847I_1 + 0,186I_2 + 0,00778\ln D_{50} \quad (2-4)$$

Transformiranjem jednadžbe 2-4 dobijemo oblik (Froehlich, 2011):

$$\phi_r = \phi_{r1} D_{50}^{0,00778} \quad (2-5)$$

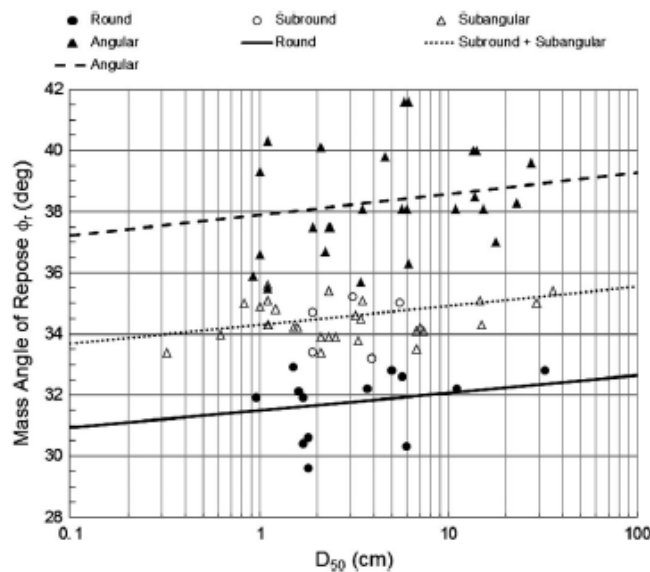
Pa je:

$\phi_{r1} = 31,5^\circ$ za uzorak zaobljenih zrna,

$\phi_{r1} = 34,3^\circ$ za uzorak poluzaobljenih i poluuglatih zrna,

$\phi_{r1} = 37,9^\circ$ za uzorak uglatih zrna.

Vrijednosti kuta sipanja ϕ_r kao funkcije D_{50} i oblika zrna su prikazane na slici 2-5. Označeni su mjereni rezultati pojedinih uzoraka i pravci dobiveni računskom regresijom.



Slika 2-5. Kut sipanja ϕ_r kao funkcija D_{50} i mjerenih vrijednosti ϕ_r (Froehlich, 2011)

Kada se u regresijskom modelu $\ln D_{50}$ zamjeni s $\ln(D_{85}/D_{50})$ dolazimo do sljedeće jednadžbe (Froehlich, 2011):

$$\ln \phi_r = 3,43 + 0,0799I_1 + 0,183I_2 + 0,125\ln\left(\frac{D_{85}}{D_{50}}\right) \quad (2-6)$$

Iz te relacije slijedi (Froehlich, 2011):

$$\phi_r = \phi_{r1}\left(\frac{D_{85}}{D_{50}}\right)^{0,125} \quad (2-7)$$

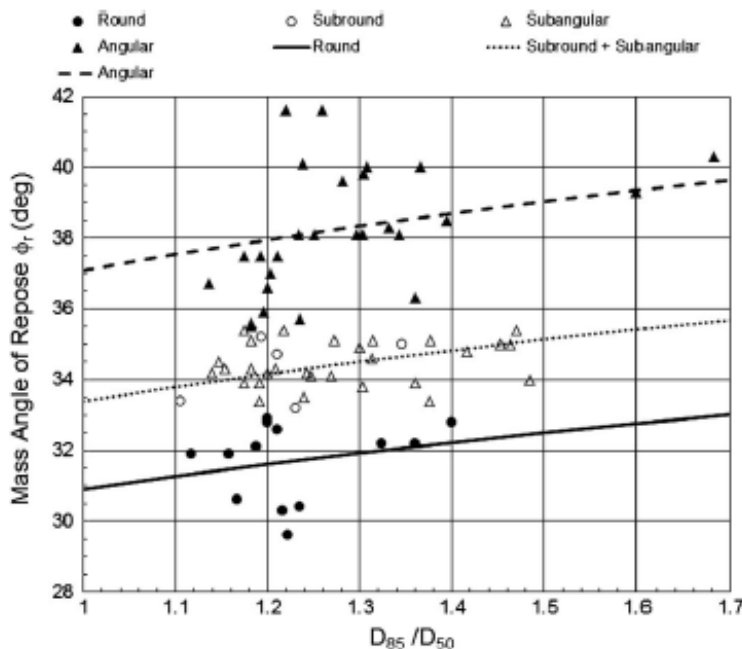
Gdje je:

$\phi_{r1} = 30,9^\circ$ za uzorak zaobljenih zrna,

$\phi_{r1} = 33,4^\circ$ za uzorak poluzaobljenih i poluuglatih zrna,

$\phi_{r1} = 37,1^\circ$ za uzorak uglatih zrna.

Predviđene vrijednosti ϕ_r dane formulom (2-7) uspoređene su s mjerenim vrijednostima uzorka na slici 2-6.

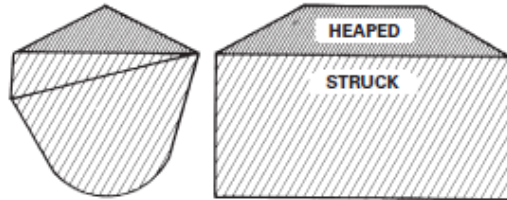


Slika 2-6. Kut sisanja ϕ_r kao funkcija D_{85}/D_{50} i mjerenih vrijednosti ϕ_r (Froehlich, 2011)

Iako je utjecaj gradacije omjerom D_{85}/D_{50} statistički prilično učinkovit, promjena kuta sisanja ϕ_r je skromna. No, procijenjena vrijednost kuta sisanja ϕ_r po formuli 2-6 (slika 2-6) je prilično bolja od one samo preko srednjeg promjera D_{50} .

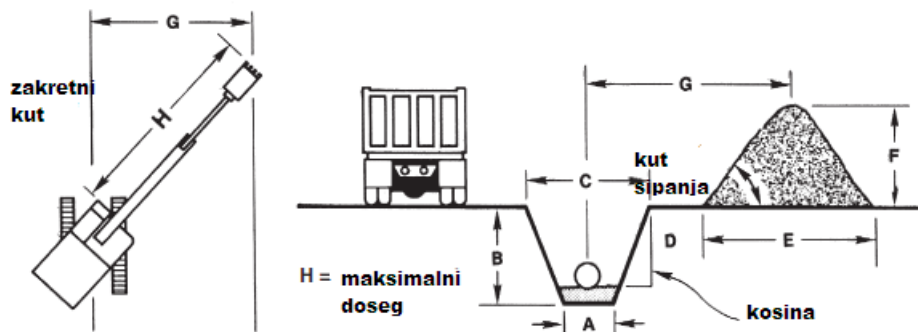
2.5. Vrijednost kuta sisanja po Caterpillaru

Poravnati obujam je onaj volumen koji se nalazi u korpi nakon što je teret izravnан izvlačenjem ravnog ruba na oštrici i stražnjoj strani žlice. Obujam 'na vrh' je poravnati obujam plus dodatna količina materijala koja je punjenje formirala hrpu s nagibom kuta sisanja (slika 2-7).



Slika 2-7. Poravnati obujam (eng. struck) s obujmom 'na vrh' (eng. heaped) (Caterpillar, 2014)

Priučnik kut sisanja koristi u kontekstu mehanizacije na kopovima, gradilištima i drugim granama gdje se koristi neki materijal čije karakteristike onda utječu na njegovo skladištenje na radilištu i organizaciju rada (slika 2-8), učinkovitost stroja i iskoristivost istog.



Slika 2-8. Materijal nasut na radilištu s označenim kutom sisanja (Caterpillar, 2014)

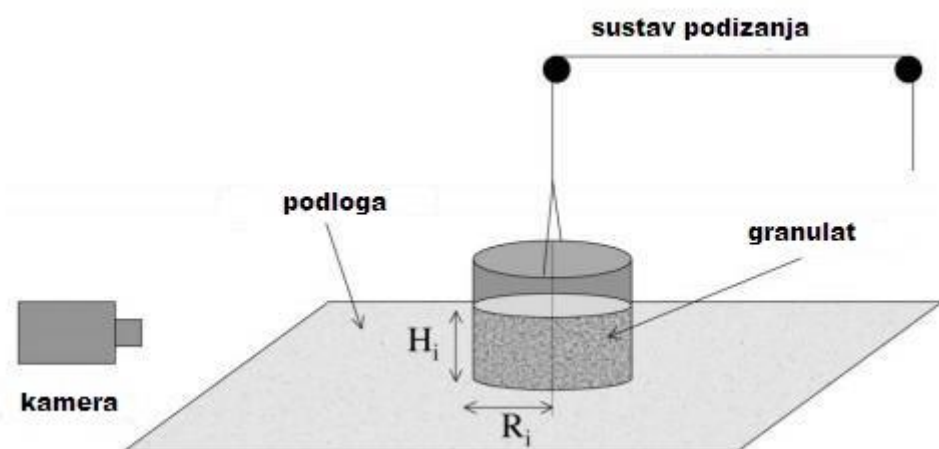
Iz tog razloga dali su vrijednosti kuta sisanja nekih materijala čestih i značajnih za njihovu mehanizaciju (tablica 2-12.).

Tablica 2-12. Preporučeni kut sipanja (Caterpillar, 2014)

| Materijal | Kut sipanja (°) |
|-----------------------------|------------------|
| Ugljen, industrijski | 35-38 |
| Zemlja, suha | 20-45 |
| Zemlja, vlažna | 25-45 |
| Zemlja, mokra | 25-30 |
| Šljunak, zaobljen do uglast | 30-50 |
| Šljunak, pijesak i glina | 20-35 |
| Pijesak, suh | 20-30 |
| Pijesak, vlažan | 30-45 |
| Pijesak, mokar | 20-45 |

3. Metoda cilindra

Kut sisanja frakcija materijala ispituje se šupljim cilindrima različitih promjera i dužina, te bazama različitih stupnjeva trenja. Mnoga istraživanja provedena su kako bi objasnila ponašanje granulata materijala i njihove kutove sisanja. U šuplji cilindar promjera D stavlja se ispitni materijal, koji je zajedno sa cilindrom u dodiru s podlogom. Hrapavost podloge utječe na rezultat mjerjenja tako da će na hrapavoj površini kut sisanja biti veći. Cilindar se podiže jednolikom brzinom i materijal počne kliziti po podlozi stvarajući hrpu oblika stošca, kako je prikazano na slici 3-1. Zatim se mjeri kut nagiba boka stošca koji predstavlja staticki kut sisanja materijala.



Slika 3-1. Shema izvođenja pokusa (Liu, 2011)

Jednostavnim mjerjenjem kuta nagiba boka stošca geometrijskim kutomjerom, dobije se kut sisanja materijala. On se također može izmjeriti metodom 2D fotografije, digitalnim fotoaparatom ili kamerom, napravljena fotografija obrađuje se u jednom od računalnih programa, kojima se kut sisanja može precizno odrediti.

Nešto složenija je 3D metoda za koju su također potrebni digitalna kamera i software za obradu podataka. Dvije snimke s različitim stajališta preklope se čime se dobije subjektivni osjet trodimenzionalnog prostora (stereoskopija). Njome se određuju trodimenzionalne koordinate prostora ili objekta promatranjem stereoparova ili više snimaka. Prednost 3D metode je što se njom dobije prosječni kut sisanja cijele hrpe materijala, čime je omogućeno mjerjenje kuta sisanja stvarnih gomila materijala što čini veliku prednost u odnosu na ostale načine mjerjenja. (Kostrić, 2018).

Kut nagiba boka stošca računa se po izvodu (Kujundžić, 2010):

$$V_1 = r_1^2 \cdot \pi \cdot h_c = 1m^3 \quad (3-1)$$

$$V_2 = \frac{r^2}{3} \cdot \pi \cdot h_s = 1m^3 \quad (3-2)$$

Gdje je : V_1 – volumen cilindra (m^3),

V_2 – volumen stošca (m^3),

r_1 – polumjer baze cilindra (m),

r – polumjer baze stošca (m),

h_c – visina cilindra (m),

h_s – visina stošca (m).

S pretpostavkom da su gustoće materijala u cilindru i nasipanog materijala jednake slijedi:

$$V_1 = V_2 \quad (3-3)$$

$$r_1^2 \cdot \pi \cdot h_c = \frac{r^2}{3} \cdot \pi \cdot h_s = 1 \quad (3-4)$$

Prema trigonometriji vrijedi:

$$\operatorname{tg}\phi = \frac{h_s}{r} \quad (3-5)$$

Uvrštavanjem u gornju relaciju dobijemo:

$$\operatorname{tg}\phi = \sqrt{\frac{\pi}{3}} \cdot \sqrt{h_s^3} \quad (3-6)$$

Konstanta $\sqrt{\frac{\pi}{3}}$ je jednaka 1,0233267, te se zaokružuje na 1. Konačni izraz za računanje kuta nagiba boka stošca glasi:

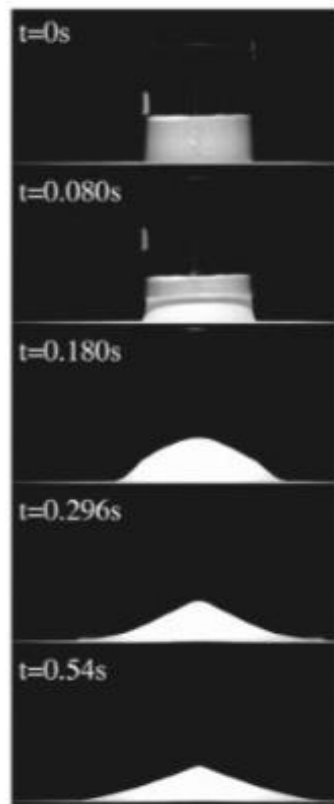
$$\operatorname{tg}\phi \approx \sqrt{h_s^3} \quad (3-7)$$

3.1. Širenje materijala nakon dizanja cilindra s granuliranim materijalom

Kao rezultat rasipanja strmih fronti, materijal se akumulira na dnu padine. Akumulirani materijal su obično krhotine stijenskog materijala koji formiraju nagib s bazom kosine. Kut tog nagiba je kut sisanja.

Lajeunesse (2004) je za laboratorijska istraživanja razvio varijantu cijevnog testa, granulat se stavlja unutar šupljeg cilindra u kontaktu s bazom. Šuplji cilindar se onda podiže i materijal klizi po podlozi, te po završetku gibanja formira kut sisanja. Koristio je različite vrste materijala i podloga. Pokus je rađen da bi proučavao oblik stošca koji materijal poprima nakon dizanja cilindra, odnosno njegove čestice u završnom stadiju rasipanja u završnom stadiju podizanja. Iz tog oblika dobiva se kut sisanja.

Slika 3-2. Pokazuje pomake granulata mase 950 g čestica promjera $d=350 \mu\text{m}$ koje su stavljeni u cilindar promjera 70,5 mm. Baza (podloga) na kojoj je granulat, napravljena je od glatkog drvenog materijala. Na slici su različite faze pokusa, krajnja donja slika pokazuje završno stanje materijala postignuto 0,54 s nakon početka testa i podizanja cilindra. Dobiven je kut sisanja i iznosi 20° .



Slika 3-2. Rasprostiranje granuliranog materijala nakon dizanja cilindra (Lajeunesse, 2004)

U provedenom korišten materijal je homogen, a utjecaj brzine dizanja cilindra nije bio promatran. Dizanje cilindra različitim brzinama dopušta materijalu da se formira različitim brzinama.

Dizanje cilindra uključuje dvoje ljudi, od kojih jedan ručno diže cilindar, a drugi mjeri potrebno vrijeme štopericom. Korištene su dvije brzine, sporija (2-3 cm/s) i brža (7-8 cm/s), pokusi rađeni s pijeskom, šljunkom i s oba materijala u slojevima. Nakon dizanja cilindra kut sipanja je mjerjen je na četiri različita mjesta kosina strana akumuliranog materijala i kao konačna vrijednost uzeta je srednja.

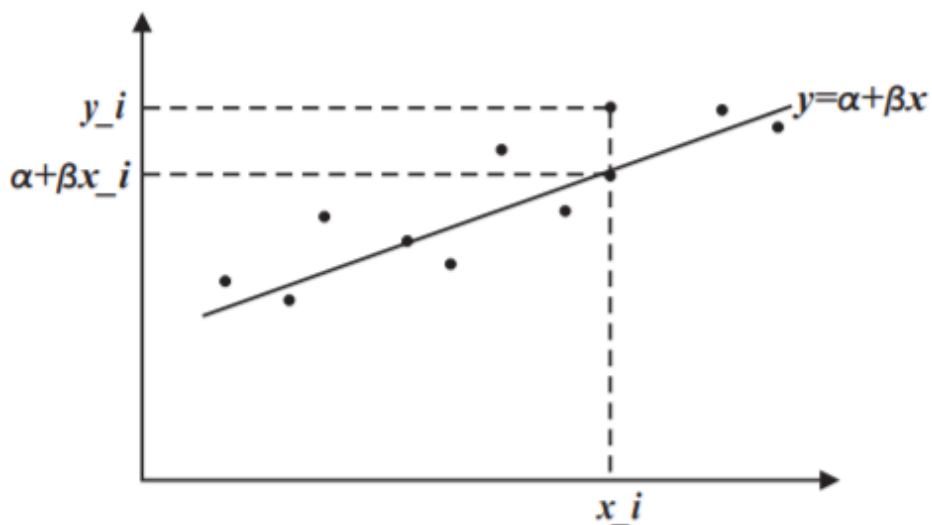
4. Statistika – regresijska analiza

Regresijske tehnike omogućuju da kvantitativno izrazimo zavisnost dviju ili više varijabli koje su inherentno povezane, odnosno među kojima postoji neka zavisnost (korelacija) koju želimo istražiti. Tako dobiveni model koristimo za predviđanje nekih podataka za koje nemamo mjerena ili ga koristimo da dođemo do nekih konstanti koje nam opisuju tu zavisnost. Najjednostavniji primjer je linearna zavisnost varijable y o nezavisnoj varijabli x (linearna regresija). Kada je varijabla ovisna o više nezavisnih, radi se o multivariantnoj regresiji (nelinearna regresija). (PMF, 2018)

Zaključci se donose na temelju niza sparenih mjerena $(x_1, y_1), \dots, (x_n, y_n)$, prikazujemo ih točkama u koordinatnom sustavu na dijagramu raspršenosti. Ako pretpostavimo da je graf funkcije $f(x)$ pravac, tj. da je zakonitost koja povezuje nezavisnu varijablu x i vrijednosti slučajnih varijabli y_i linearog tipa, regresijsku funkciju u algebarskom obliku zapisujemo kao (MATHOS, 2018):

$$f(x) = \alpha + \beta \cdot x_i \quad (4-1)$$

Gdje se parametar β (koeficijent smjera) naziva koeficijent regresije, a pravac $y=\alpha+\beta x$ regresijski pravac (slika 4-1). (MATHOS, 2018)



Slika 4-1. Dijagram raspršenosti (MATHOS, 2018)

Na slici uočavamo da za vrijednost x_i nezavisne varijable x , zavisna varijabla y_i poprima vrijednost $\alpha + \beta x_i$. Istovremeno, uočavamo da je stvarna vrijednost jednaka y_i . Zanima nas razlika tih vrijednosti (PMF, 2018):

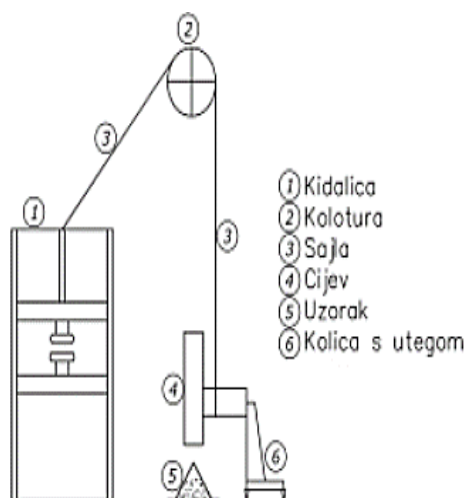
$$d_i = y_i - (\alpha + \beta \cdot x_i) \quad (4-2)$$

Kod metode bazirane na vertikalnim odstupanjima, slučajna pogreška pripisana je y varijabli. Za korištenje regresijskih metoda nužan uvijet je da traženi broj parametara (kod pravca su to α i β) bude manji ili jednak od broja mjerena (x_i, y_i). (PMF, 2018)

5. Laboratorijska ispitivanja

5.1. Opis ispitivanja

Cilj laboratorijskih ispitivanja bilo je utvrditi promjenu kuta sipanja granulata povećanjem visine uzorka u cilindru. Korišten je cilindar promjera 110 mm i podizan je brzinom od 4,05 cm/s po shemi kako je prikazano na slici 5-1. Materijal u ispitivanja bio je isprani uzorak drobljenog dolomita frakcije 2/4.



Slika 5-1. Shema uređaja (Kostrić, 2018)

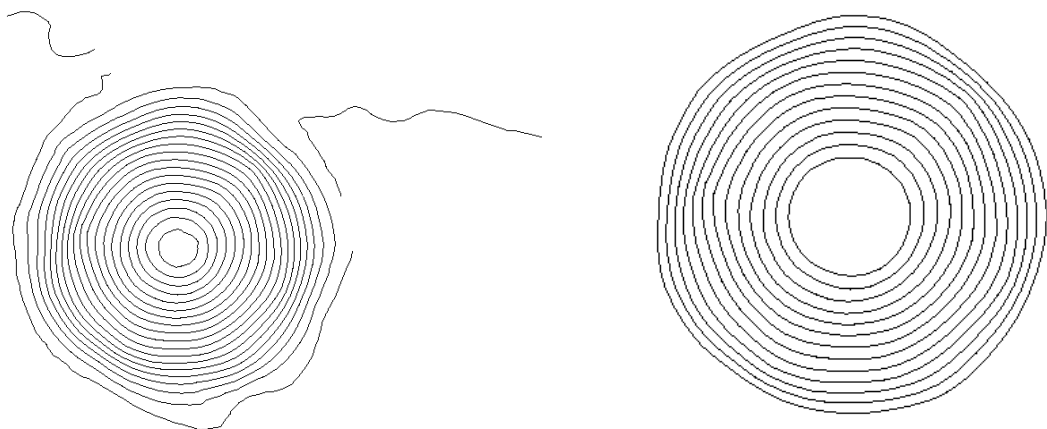
Postupak se sa svakim uzorkom neke visine ponovio tri puta kako bi se kao konačna uzela srednja vrijednost i izbjegla velika pogreška. Tako formirana hrpa (slika 5-2) materijala bi se nakon svakog fotografirala sa strane, s vrhom stošca u centru slike i dvaput s vrhom van centra za obradu u softveru PhotoModeler (softverska aplikacija koja izrađuje 3D modele i radi mjerena primjenom fotogrametrije). Tako u dxf formatu eksportiramo 3D model u slojnicama. Te ga importiramo u program Microstation gdje se doraduje sa ciljem dobivanja kuta sipanja preko volumena hrpe i površina unutar slojnica, kako će biti opisano.



Slika 5-2. Formirana hrpa materijala nakon podizanja cilindra (Gaura, 2018)

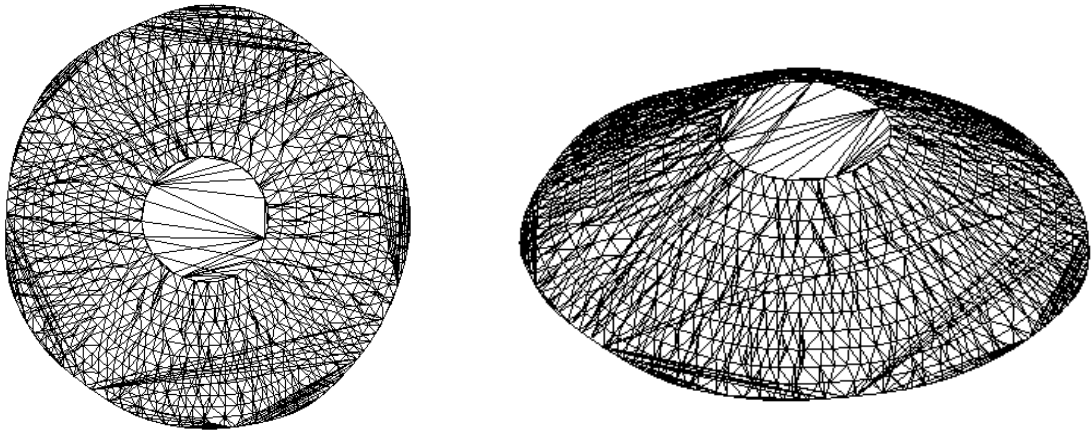
5.2. Rezultati ispitivanja

Obrada u Microstationu počinje s brisanjem viška slojnice koje bi utjecale na točnost podataka. Cilj je ostaviti niz slojnice koje čine što ravnomjerniji i pravilniji razmak od najnižih prema najviših (slika 5-3). Zatim naredbom Measure Area (mjerenje površine) trebamo dobiti površinu unutar najgornje slojnice P_1 i unutar najdonje P_2 .



Slika 5-3. Prikaz slojница u Microstationu

Sljedeći je korak od 3D modela slojnice napraviti tijelo zatvaranjem međuprostora (naredbe Close Mesh Voids pa Convert to Smart Solid) kao što je na slici 5-4. Iz toga tijela zatim možemo dobiti volumen tijela V (naredba Measure Volume).



Slika 5-4. Zatvorena mreža slojnice u tlocrtu i izometričnom pogledu

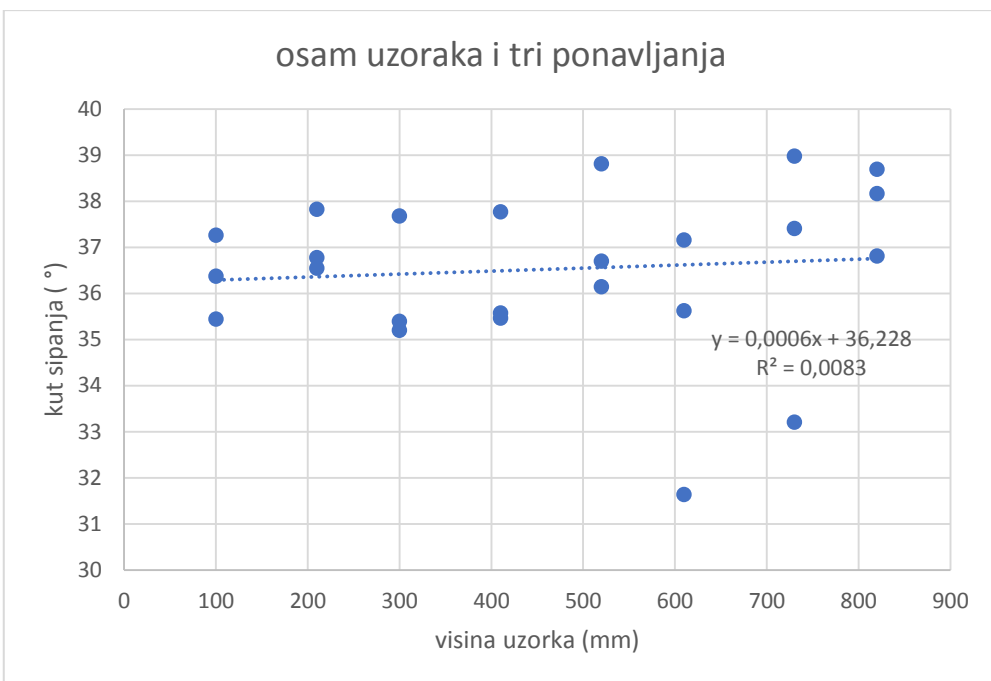
Dobivene vrijednosti uvrštavaju se u jednadžbu 5-1 iz koje se računa kut sisanja ϕ_r .

$$\tan \phi r = \frac{3V\sqrt{\pi}}{\sqrt{P_1^3} - \sqrt{P_2^3}} \quad (5-1)$$

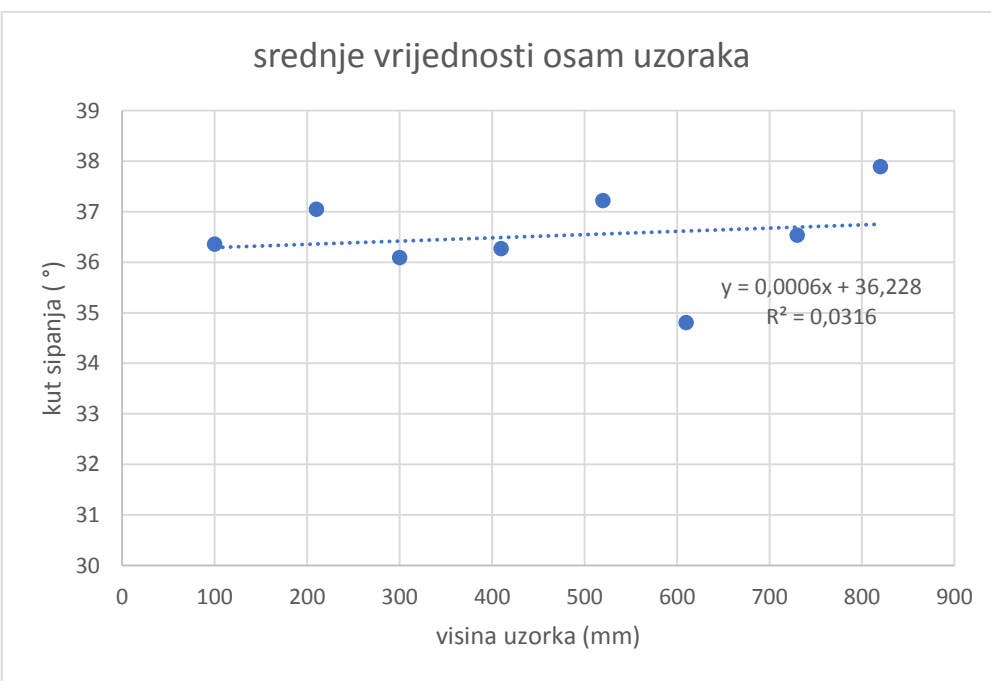
Postupak je provođen za osam uzoraka i za svaki ponavljan tri puta. Rezultati su u excel tablici u prilogu 2.

5.2.1. Regresijska analiza

Uzevši u obzir dobivene rezultate, iz dijagrama na slikama 5-5 i 5-6, dolazimo do zaključka da za frakciju 2/4 usitnjjenog dolomita nema promjene vrijednosti kuta sisanja s povećanjem visine materijala unutar cilindra, budući da je dobiveni pravac subhorizontalan (koeficijent smjera gotovo jednak 0, što je vidljivo iz jednadžbe pravca).



Slika 5-5. Dijagram osam uzoraka i tri ponavljanja



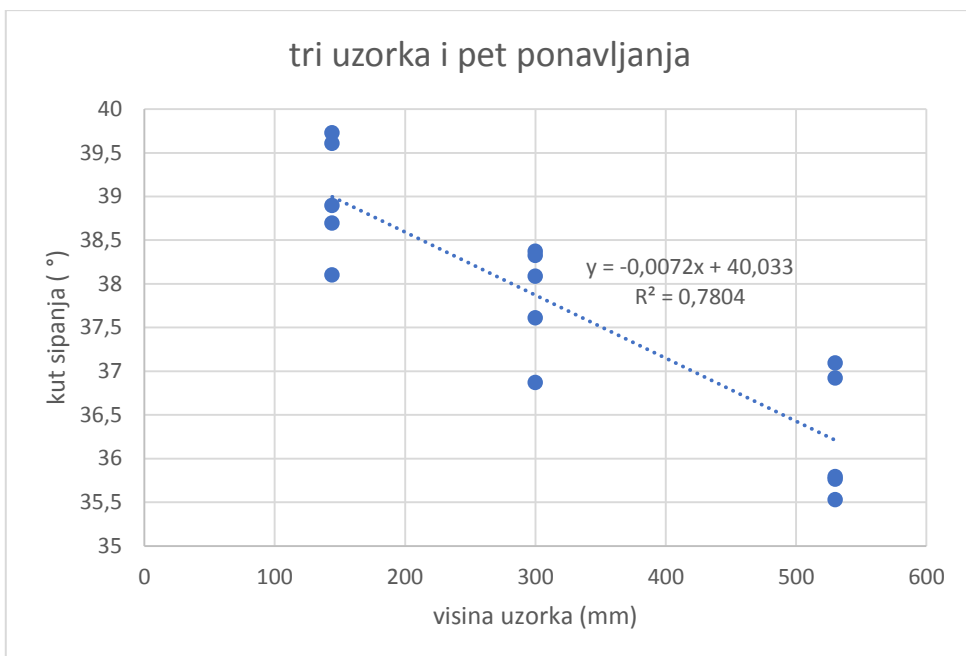
Slika 5-6. Dijagram srednjih vrijednosti osam uzoraka

Za usporedbu, rezultati istih ispitivanja, ali s dolomitom koji nije bio ispiran, pa se radi o dolomitu frakcije 0/4, za tri visine uzorka i pet ponavljanja pokusa, dobivene su vrijednosti u tablici 5-1.

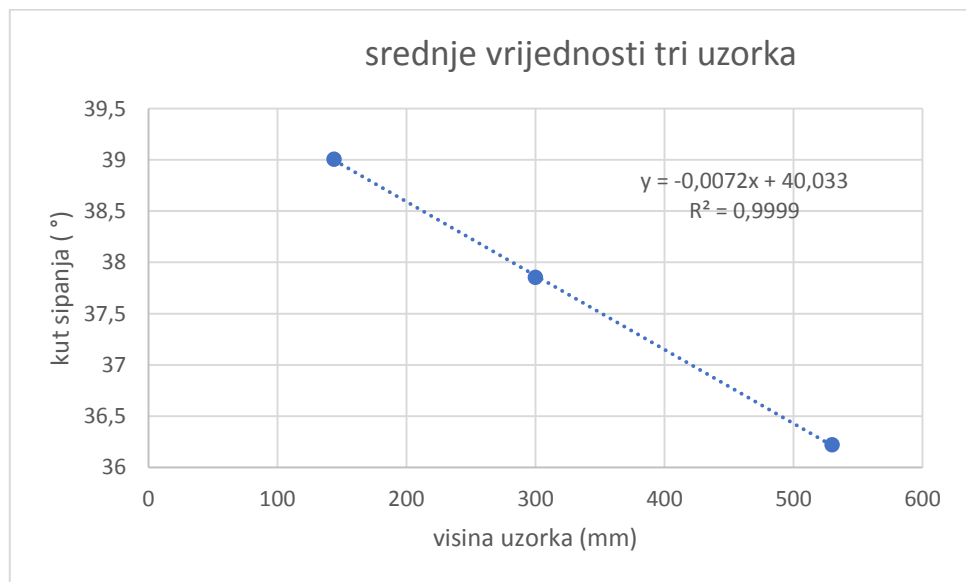
Tablica 5-1. Ispitivanja na frakciji 0/4 (Klanfar i dr., 2017)

| Visina uzorka (mm) | Kut sisanja (°) | Prosječni kut sisanja (°) |
|--------------------|-----------------|---------------------------|
| 530 | 35,53 | |
| 530 | 37,10 | 36,22 |
| 530 | 35,79 | |
| 530 | 36,92 | |
| 530 | 35,76 | |
| 300 | 38,37 | |
| 300 | 36,87 | 37,85 |
| 300 | 38,09 | |
| 300 | 38,33 | |
| 300 | 37,61 | |
| 144 | 39,73 | |
| 144 | 38,89 | 39,01 |
| 144 | 38,10 | |
| 144 | 38,70 | |
| 144 | 39,61 | |

Slike 5-7 i 5-8 na isti način prikazuju dobivene rezultate u obliku dijagrama, no, pravac koji opisuje točke uzoraka je ovaj puta vidno drugačijeg nagiba i zaključak je da kada se radi s uzorkom koji sadrži velik udio čestica manjih od 2 mm, kut sisanja će se smanjivati s povećanjem visine uzorka.



Slika 5-7. Dijagram tri uzorka i pet ponavljanja



Slika 5-8. Dijagram srednjih vrijednosti tri uzorka

5.3. Formiranje (krnjeg) stošca

U posebnom laboratorijskom pokusu ispitivan je omjer visine granulata materijala i promjera cilindra pri kojemu i iznad kojega će se početi formirati pravilan stožac. Korišteni materijal je isprani usitnjeni dolomit granulacije 2/4, cilindar je promjera 110 mm, a brzina podizanja cilindra 4,05 cm/s. Rezultati su u tablici 5-1.

Tablica 5-2. Minimalna visina uzorka za formiranje stošca

| Uzorak | Visina uzorka (mm) | Uzorak nakon podizanja cilindra | Omjer visine i promjera cilindra (mm:mm) |
|--------|-----------------------|------------------------------------|--|
| 1 | 15 | Slika 5-2. a) | 15:110 |
| 2 | 30 | Slika 5-2. b) | 30:110 |
| 3 | 45 | Slika 5-2. c) | 45:110 |
| 4 | 60 | Slika 5-2. d) | 60:110 |
| 5 | 75 | Slika 5-2. e) | 75:110 |
| 6 | 90 | Slika 5-2. f) | 90:110 |



(a)

(b)



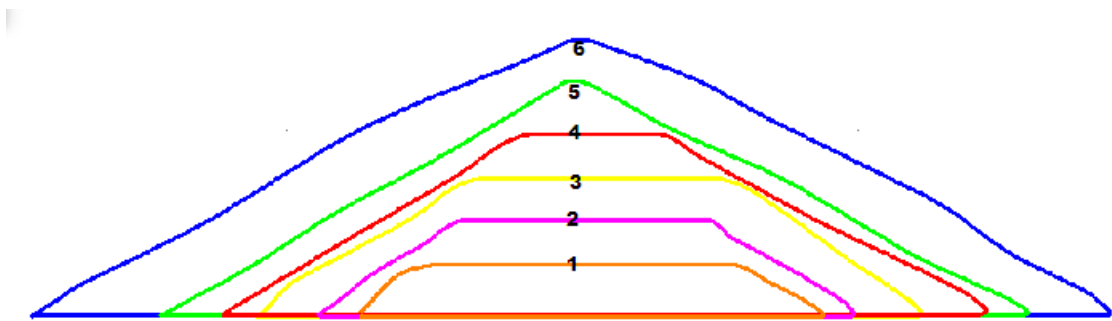
(c)

(d)



Slika 5-9. Šest uzorka frakcije 2/4 visina (a) 15 mm, (b) 30 mm, (c) 45 mm, (d) 60 mm, (e) 75 mm i (f) 90 mm

Kada su se stošci koje formira materijal nakon podizanja cilindra preklopili kao na slici 5-3, vidimo razlike u obliku i postepen prelazak iz krnjeg stošca i smanjivanja zaravnjenosti na vrhu, do pravilnog stošca, koji je prema ispitivanju iznad granice od 75:110 (15:22) omjera visine uzorka i promjera cilindra.



Slika 5-10. Usporedba formacija šest uzorka frakcije 2/4

6. Zaključak

Vrijednost kuta sipanja ovisi o mnogo parametara, vrsti i granulaciji materijala, obliku čestica i sastavu materijala, vlažnosti i temperaturi, također i o podlozi, te brzini podizanja cilindra. Ako se procjenjuje kut sipanja računskom analizom, ovisi i o odabranoj numeričkoj metodi.

Prikazani su rezultati nekoliko autora, koji su istraživanja proveli u različite svrhe, ali s istim ciljem – da dobiju točne podatke o materijalu kako bi iskoristivost i učinkovitost primjene bila na maksimumu.

Z. Liu je za svoje ispitivanja koristio dvije brzine i dvije vrste podloga (glatku i hrapavu). Kut sipanja je bio manji pri korištenju veće brzine podizanja, te kada je korištena glatka podloga. Također, kod pokusa sa smjesom pijeska i šljunka možemo zaključiti da s povećanjem postotnog udjela pijeska pada kut sipanja. J. R. Metcalf nakon ispitivanja kuta sipanja materijala različitih fizikalnih svojstava zaključuje kako se kut sipanja povećava s tvrdoćom materijala, no na njega više utječe oblik zrna i trenje među njima. Iz rezultata D. C. Froelicha se upravo utjecaj oblika zrna posebno očituje. Znatno veći kut sipanja postiže materijal uglatih zrna naspram oblih, dok su poluuglata i poluzaobljena negdje između.

Naša laboratorijska ispitivanja sa različitim visinama stupca materijala u cilindru koji se podiže i dopušta rasipanje materijala koji će onda formirati prirodni kut sipanja, pokazala su zavisnost i o udjelu sitnih čestica. Materijal ispran i prosijan od čestica manjih od 2 mm ne pokazuje promjenu (ili je ona mala) kuta sipanja s porastom visine uzorka u cilindru, dok se uzorku sa sitnim česticama kut sipanja smanjiva s porastom visine uzorka.

Dodatno, utvrđen je omjer visine uzorka i promjena cilindra pri kojoj će se formirati pravilan stožac, bez ravnine na vrhu (gdje materijal ne klizi niti se kotrlja), a za frakciju 2/4 taj omjer iznosi 15:22.

Generalno, kut sipanja ima veliku važnost zbog široke primjene u raznim tehničkim područjima, posebice vezano za transport i skladištenje, stabilnosti kosina i drugog, a način njegova dobivanja i važni utjecajni parametri ovise o vrsti materijala i cilju njegova korištenja.

7. Literatura

- CATERPILLAR, 2014. *Caterpillar performance handbook*, Caterpillar, Peoria, Illinois, U.S.A.
- DARLING, P., *SME Mining Engineering Handbook, Third Edition* 2011. Society for Mining, Metallurgy, and Exploration U.S.A.
- FROELICH, D. C., 2011. *Mass Angle of Repose of Open-Graded Rock Riprap*, URL: <https://www.researchgate.net/publication/276964587> (18.1.2019.)
- GAURA, A., 2018. *Primjena kuta sipanja i utjecaj promjera pri ispitivanju metodom cilindra*, diplomski rad, Rudarsko-geološko-naftni fakultet, Zagreb
- KLANFAR, M, HERCEG, V., KORMAN, T., DOMITROVIĆ, D., 2017. *Izvješće o ispitivanjima*, Zagreb: Rudarsko-geološko-naftni fakultet
- KOSTRIĆ, S., 2018. *Određivanje kuta stošca pri ispitivanju kuta sipanja metodom cilindra*, diplomski rad, Rudarsko-geološko-naftni fakultet, Zagreb
- KUJUNDŽIĆ, T., 2010. *Fizikalna svojstva materijala*. Predavanja: Transport i izvoz, Zagreb: Rudarsko-geološko-naftni fakultet
- LAJEUNESSE, E., 2004. *Spreading of a granular mass on a horizontal plane*, Physics of Fluids, Vol. 16
- LIU, Z., 2011. *Measuring the angle of repose of granular systems usilg hollow cilinders*, Universitiy of Pittsburgh, Swanson school of engineering
- MATHOS, 2018., *Regresijska analiza* URL:
http://www.mathos.unios.hr/ptfstatistika/Vjezbe/materijali_7.pdf (31.12.2018.)
- METCALF, J. R., 1966. *Angle of repose and internal friction*, Int. J. Rock. Mech. Min. Sci., Pergamon Press, Great Britain
- MIURA, K., MAEDA, K., FORUKAWA, M., TOKI, S., 1997. *Phisical characteristics of sands with different primary properties*, Soils and foundations, Japanese Geotechnical Society
- PMF, 2018., *Regresijska analiza* URL:
http://www.pmf.unizg.hr/_download/repository/PREDAVANJE11.pdf (31.12.2018.)

Prilog 1 Rezultati 74 uzoraka za obaloutvrde (Froehlich, 2011)

| Stockpile code | Angle of repose ϕ_r (degrees) | Mixture angularity ^a | Average particle form factor ψ | Particle sizes D_i for which i percent of the mixture is finer (cm) | | | | | | Method of dumping ^b |
|----------------|------------------------------------|---------------------------------|-------------------------------------|---|----------|----------|----------|----------|----------|--------------------------------|
| | | | | D_{10} | D_{15} | D_{30} | D_{50} | D_{60} | D_{85} | |
| CH01 | 34.9 | SA | 0.67 | 0.7 | 0.75 | 0.92 | 1.0 | 1.1 | 1.3 | T |
| CH02 | 36.7 | A | 0.74 | 1.7 | 1.8 | 2.1 | 2.2 | 2.3 | 2.5 | T |
| CS01 | 35 | SR | 0.74 | 4.3 | 4.5 | 4.9 | 5.5 | 6.0 | 7.4 | T |
| CS02 | 35.2 | SR | 0.72 | 2.5 | 2.6 | 2.8 | 3.1 | 3.3 | 3.7 | T |
| CS03 | 34.7 | SR | 0.74 | 1.6 | 1.6 | 1.8 | 1.9 | 2.0 | 2.3 | T |
| CS04 | 33.4 | SR | 0.73 | 1.7 | 1.7 | 1.8 | 1.9 | 1.9 | 2.1 | T |
| CS05 | 32.9 | R | 0.73 | 1.1 | 1.2 | 1.3 | 1.5 | 1.6 | 1.8 | T |
| CS06 | 31.9 | R | 0.75 | 0.75 | 0.8 | 0.9 | 0.95 | 1.0 | 1.1 | T |
| CS07 | 30.6 | R | 0.73 | 1.4 | 1.4 | 1.6 | 1.8 | 1.9 | 2.1 | T |
| CS08 | 32.2 | R | 0.73 | 2.8 | 2.9 | 3.3 | 3.7 | 4.0 | 4.9 | T |
| CS09 | 32.1 | R | 0.73 | 1.2 | 1.3 | 1.4 | 1.6 | 1.7 | 1.9 | T |
| CS10 | 30.4 | R | 0.74 | 1.2 | 1.3 | 1.6 | 1.7 | 1.8 | 2.1 | T |
| FP01 | 35.1 | SA | 0.71 | 0.8 | 0.9 | 1.0 | 1.1 | 1.1 | 1.3 | T |
| FP02 | 34.2 | SA | 0.71 | 1.1 | 1.2 | 1.3 | 1.5 | 1.6 | 1.8 | T |
| FP03 | 40 | A | 0.66 | 9.1 | 10.1 | 11.6 | 13.4 | 14 | 18.3 | T |
| FP04 | 34.1 | SA | 0.62 | 4.3 | 4.6 | 5.5 | 6.7 | 7.3 | 8.5 | B |
| FP05 | 35.4 | SA | 0.69 | 1.5 | 1.7 | 2.0 | 2.3 | 2.3 | 2.7 | B |
| FP06 | 38.1 | A | 0.69 | 3.8 | 4.0 | 4.8 | 5.6 | 6.0 | 7.0 | B |
| GE01 | 33.5 | SA | 0.76 | 5.2 | 5.4 | 6.0 | 6.7 | 7.2 | 8.3 | T |
| GE02 | 35.7 | A | 0.65 | 2.4 | 2.7 | 3.0 | 3.4 | 3.6 | 4.2 | T |
| GE03 | 33.9 | SA | 0.65 | 1.9 | 2.0 | 2.1 | 2.3 | 2.4 | 2.7 | T |
| GE04 | 35.1 | SA | 0.61 | 9.1 | 10.1 | 12.5 | 14.6 | 15.9 | 20.1 | T |
| HC01 | 33.8 | SA | 0.73 | 2.5 | 2.6 | 2.9 | 3.3 | 3.5 | 4.3 | T |
| HC02 | 30.3 | R | 0.66 | 4.4 | 4.6 | 5.1 | 6.0 | 6.4 | 7.3 | T |
| HE01 | 35.9 | A | 0.62 | 0.68 | 0.73 | 0.83 | 0.92 | 1.0 | 1.1 | T |
| KS01 | 41.6 | A | 0.66 | 4.2 | 4.4 | 5.0 | 5.8 | 6.1 | 7.3 | B |
| KS02 | 37.5 | A | 0.68 | 1.7 | 1.8 | 2.0 | 2.3 | 2.4 | 2.7 | B |
| KS03 | 34.3 | SA | 0.72 | 0.71 | 0.75 | 0.89 | 1.1 | 1.1 | 1.3 | T |
| LQ01 | 38.1 | A | 0.67 | 7.9 | 8.6 | 9.8 | 10.8 | 11.4 | 14 | T |
| LQ02 | 34.6 | SA | 0.65 | 2.2 | 2.4 | 2.7 | 3.2 | 3.5 | 4.2 | B |
| LQ03 | 38.1 | A | 0.64 | 2.8 | 2.9 | 3.2 | 3.5 | 3.8 | 4.7 | B |
| LQ04 | 33.9 | SA | 0.68 | 1.3 | 1.4 | 1.7 | 2.1 | 2.2 | 2.5 | T |
| LQ05 | 40.1 | A | 0.67 | 1.5 | 1.7 | 1.9 | 2.1 | 2.2 | 2.6 | B |
| LQ06 | 31.9 | R | 0.75 | 1.3 | 1.4 | 1.5 | 1.7 | 1.7 | 1.9 | T |
| LQ07 | 39.8 | A | 0.66 | 3.2 | 3.3 | 3.9 | 4.6 | 5.0 | 6.0 | B |
| LQ08 | 35.6 | SA | 0.65 | 0.8 | 0.8 | 1.0 | 1.1 | 1.1 | 1.3 | B |
| LQ09 | 29.6 | R | 0.7 | 1.3 | 1.4 | 1.5 | 1.8 | 1.9 | 2.2 | T |
| NU01 | 32.6 | R | 0.7 | 4.5 | 4.7 | 5.2 | 5.7 | 5.9 | 6.9 | T |
| NU02 | 34.5 | SA | 0.67 | 2.7 | 2.7 | 3.2 | 3.4 | 3.5 | 3.9 | T |
| NU03 | 32.8 | R | 0.71 | 3.8 | 4.0 | 4.5 | 5.0 | 5.3 | 6.0 | T |
| NU04 | 33.2 | SR | 0.74 | 3.0 | 3.2 | 3.5 | 3.9 | 4.0 | 4.8 | T |
| NU05 | 34.3 | SA | 0.68 | 11.6 | 12.2 | 13.1 | 14.9 | 15.5 | 18 | T |
| RE01 | 40.3 | A | 0.61 | 0.71 | 0.76 | 1.0 | 1.1 | 1.6 | 1.85 | T |
| RR01 | 39.3 | A | 0.64 | 0.72 | 0.74 | 0.86 | 1.0 | 1.1 | 1.6 | T |
| RR02 | 38.5 | A | 0.66 | 8.3 | 9.2 | 10.5 | 13.7 | 15.3 | 19.1 | T |
| RR03 | 34.2 | SA | 0.68 | 5.4 | 5.6 | 6.1 | 7.0 | 7.5 | 8.7 | T |
| RQ03 | 38.1 | A | 0.68 | 11.3 | 13.1 | 13.7 | 15.2 | 16.8 | 19.8 | T |
| RQ04 | 33.4 | SA | 0.71 | 1.4 | 1.5 | 1.7 | 2.1 | 2.2 | 2.5 | T |
| RQ05 | 35.1 | SA | 0.69 | 2.5 | 2.6 | 3.0 | 3.5 | 3.8 | 4.6 | T |
| RQ06 | 34.8 | SA | 0.76 | 0.56 | 0.62 | 0.82 | 1.2 | 1.3 | 1.7 | T |
| RQ07 | 36.3 | A | 0.62 | 3.6 | 4.1 | 4.9 | 6.1 | 6.6 | 8.3 | T |
| RQ08 | 35 | SA | 0.61 | 0.51 | 0.54 | 0.65 | 0.82 | 0.92 | 1.2 | T |
| RQ09 | 34 | SA | 0.73 | 0.26 | 0.32 | 0.43 | 0.62 | 0.70 | 0.92 | T |
| RQ10 | 33.4 | SA | 0.72 | 0.21 | 0.22 | 0.26 | 0.32 | 0.35 | 0.44 | T |
| RQ11 | 33.9 | SA | 0.65 | 1.8 | 2.0 | 2.2 | 2.5 | 2.7 | 3.4 | C |
| RQ14 | 38.3 | A | 0.66 | 16.8 | 16.8 | 19.8 | 22.9 | 24.4 | 30.5 | T |
| TB01 | 35.5 | A | 0.69 | 0.9 | 0.9 | 1.0 | 1.1 | 1.1 | 1.3 | T |
| TB02 | 36.6 | A | 0.67 | 0.8 | 0.8 | 0.9 | 1.0 | 1.1 | 1.2 | T |
| TB03 | 37.5 | A | 0.7 | 1.4 | 1.5 | 1.7 | 1.9 | 1.9 | 2.3 | T |
| TQ01 | 41.6 | A | 0.66 | 4.2 | 4.4 | 5.8 | 6.1 | 7.3 | 7.4 | T |
| TQ02 | 37.5 | A | 0.66 | 1.7 | 1.8 | 2.3 | 2.4 | 2.7 | 2.8 | T |
| TQ03 | 34.3 | SA | 0.7 | 0.71 | 0.75 | 1.06 | 1.11 | 1.26 | 1.28 | T |
| VR01 | 35.1 | SA | 0.7 | 0.8 | 0.9 | 1.1 | 1.1 | 1.3 | 1.4 | T |
| VR02 | 34.2 | SA | 0.68 | 1.1 | 1.2 | 1.5 | 1.6 | 1.8 | 1.9 | B |
| VR03 | 40 | A | 0.67 | 9.1 | 10.1 | 13.4 | 14 | 18.3 | 18.3 | T |
| VR04 | 34.1 | SA | 0.62 | 4.3 | 4.6 | 6.7 | 7.3 | 8.5 | 9.1 | T |
| VR05 | 35.4 | SA | 0.69 | 1.5 | 1.7 | 2.3 | 2.3 | 2.7 | 2.8 | T |
| VR06 | 38.1 | A | 0.7 | 3.8 | 4.0 | 5.6 | 6.0 | 7.0 | 7.4 | T |
| PB01 | 32.2 | R | 0.74 | 8.3 | 8.7 | 9.9 | 11.1 | 12.1 | 15.1 | T |
| PB02 | 32.8 | R | 0.67 | 22.9 | 26.1 | 29.8 | 32.3 | 35.5 | 45.2 | T |
| PB03 | 35.4 | SA | 0.65 | 22.7 | 25.2 | 31.3 | 35.5 | 39.8 | 52.2 | T |
| PB04 | 35 | SA | 0.62 | 18.2 | 20.2 | 25.0 | 29.2 | 31.8 | 42.4 | T |

Prilog 2. Excel tablica s rezultatima ispitivanja

| Uzorak | P1 [m2] | P2 [m2] | V [m3] | r [m] | R [m] | H [m] | φ [°] | Δφ [°] | visina |
|-----------|---------|---------|---------|--------|--------|--------|--------|---------|--------|
| b1 | 2,9635 | 48,7193 | 46,3923 | 0,9712 | 3,9380 | 2,1849 | 36,371 | | 100 |
| b2 | 4,6928 | 44,8781 | 41,5554 | 1,2222 | 3,7796 | 1,9454 | 37,26 | | 100 |
| b3 | 7,5165 | 62,8293 | 63,8953 | 1,5468 | 4,4720 | 2,0818 | 35,438 | 36,3562 | 100 |
| c1 | 9,3876 | 57,4449 | 57,1604 | 1,7286 | 4,2761 | 1,9042 | 36,777 | | 210 |
| c2 | 10,7770 | 66,6730 | 70,9566 | 1,8521 | 4,6068 | 2,0418 | 36,547 | | 210 |
| c3 | 7,0629 | 54,7523 | 56,4056 | 1,4994 | 4,1747 | 2,0768 | 37,821 | 37,0484 | 210 |
| d1 | 17,9492 | 53,2609 | 41,7684 | 2,3903 | 4,1175 | 1,2269 | 35,389 | | 300 |
| d2 | 10,5606 | 56,2477 | 56,2792 | 1,8335 | 4,2313 | 1,8517 | 37,676 | | 300 |
| d3 | 13,3859 | 52,9301 | 44,5856 | 2,0642 | 4,1047 | 1,4393 | 35,198 | 36,0874 | 300 |
| e1 | 6,3485 | 60,8876 | 61,4918 | 1,4215 | 4,4024 | 2,1229 | 35,458 | | 410 |
| e2 | 7,5774 | 56,9047 | 59,5064 | 1,5530 | 4,2560 | 2,0941 | 37,767 | | 410 |
| e3 | 8,0490 | 62,7381 | 63,7662 | 1,6006 | 4,4688 | 2,0513 | 35,572 | 36,2657 | 410 |
| f1 | 9,0512 | 43,2726 | 29,8251 | 1,6974 | 3,7113 | 1,2407 | 31,636 | | 610 |
| f2 | 15,3085 | 55,8853 | 48,2260 | 2,2075 | 4,2177 | 1,4404 | 35,623 | | 610 |
| f3 | 12,2527 | 60,6157 | 61,1509 | 1,9749 | 4,3926 | 1,8323 | 37,158 | 34,8055 | 610 |
| g1 | 7,2677 | 57,3878 | 58,4225 | 1,5210 | 4,2740 | 2,0601 | 36,807 | | 820 |
| g2 | 7,6849 | 46,0455 | 43,8496 | 1,5640 | 3,8284 | 1,8134 | 38,689 | | 820 |
| g3 | 6,9669 | 57,9673 | 62,5097 | 1,4892 | 4,2955 | 2,2054 | 38,163 | 37,8866 | 820 |
| h1 | 7,5676 | 53,9592 | 57,1494 | 1,5520 | 4,1444 | 2,0976 | 38,979 | | 730 |
| h2 | 5,3572 | 56,2664 | 50,4243 | 1,3059 | 4,2320 | 1,9152 | 33,205 | | 730 |
| h3 | 18,2766 | 57,6718 | 51,7541 | 2,4120 | 4,2846 | 1,4321 | 37,408 | 36,5306 | 730 |
| i1 | 4,9973 | 56,3959 | 56,6369 | 1,2612 | 4,2369 | 2,1733 | 36,143 | | 520 |
| i2 | 7,4138 | 54,7634 | 58,2475 | 1,5362 | 4,1751 | 2,1225 | 38,81 | | 520 |
| i3 | 4,4464 | 52,4747 | 51,9681 | 1,1897 | 4,0870 | 2,1595 | 36,699 | 37,2172 | 520 |